

首都高速道路公团

正会員 齋川庫三

住友建設

○安孫子敏雄

山本隆司

1 まえがき 首都高速道路5号線Ⅱ期、オ562工区オ563工区における上部構造は、3径間連続PC木目一スラブ橋で、スパン25m~29m、巾員18mである。本構造は支承中心間隔10mの2支持式であり、そのため特に支承上の負のモーメントの取り扱い、また支承と横桁の設計における有効巾と荷重の取り方及び横方向の荷重分配について問題があった。実施設計での解析方法は、a) 平面格子理論、b) 有限要素理論の2つの理論(は、有限計算を行ない)、最終的に弹性理論値の30~40%の割増を考慮して設計計算を行なつたが、前記の問題点と、設計方法の確認を計るために、アクリル模型による載荷実験を行ない、ある程度の結果を得たので、ここに報告する次第である。

## 2. 実験方法

### (2-1) 模型形状及び予備試験

模型の縮尺は、1/50とし、形状寸法は、

図-1の通りである。大縮尺の模型で局部的な応力状態を明確にするために、アクリル模型を用いた。載荷実験は、温度、湿度を一定の状態で行なうため、地下5mのシールド内下を行なつた。製作はスラブを上下2個(分割加工したもの)を接着剤(パラダイン)により接合し、熱処理( $70^{\circ}\sim 80^{\circ}$ , 3<sup>rd</sup>)行なつた。支承は端支承かX型ピン支承、中間支承は厚さ5mm、Φ=20mmの木製支承、ヒンジ部は丁口支承とした。予備試験としては、単純梁(載荷を行ない)、弾性係数を算定1kN。結果は、 $E = 3.20 \times 10^{13} \text{ N/mm}^2$  であり、また接着剤及び熱処理の影響かほとんどないことを確認した。測定では、泊ゲージ及びダイヤルゲージを使用した。

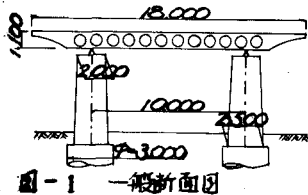


図-1 一様断面図

(2-2) 載荷方法 荷重は小型油圧ジャッキ(1.0t)により10回~60回まで載荷し、測定は10回毎に行なつて、3回繰り返した。載荷位置は、センタースパン及びサイドスパンの中央で、集中載荷(巾員の中央部、偏心部)、等分布の3ケース、計6ケースについて行なう。かつ中間支承の1支承を沈下させた場合を追加1ケース。

### 3. 理論解析 単純構解析の他に次の2つの方法による比較計算を行なつ

た。

(3-1) 平面格子解析 ボロースラブを図-2、3に示すように、支承奥に主軸を設け、全体で7本主軸を持つ平面格子に置換し、断面充満率、固定端等を考慮して、各々の部材の断面性能を換算して求めた。この結果、 $I_1, I_2 = 2.38 \times 10^{-8} \text{ m}^4$ ,  $I_3 \sim I_6 = 3.68 \times 10^{-8} \text{ m}^4$ ,  $J_1 = 0.992 \times 10^{-8} \text{ m}^4$ ,  $J_2 \sim J_6 = 10.12 \times 10^{-8} \text{ m}^4$ となり、電算はUNISTRUDLを使用した。



図-2 格子解析用断面図(1/50)

(3-2) 有限要素解析 平板の曲げ問題としては、矩形要素による有限要素法を用いた。要素の分割は、比較を容易にするため、格子の分割に合わせ、要素内板厚一定の直交異方性版として取り扱かつた。スラブ両側の変断面部分及び中央木目一部分の換算は要素内の歪エネルギー等しくなるように、板厚及び弾性係数E<sub>c</sub>を決定した。(図-4, 5) 計算を簡単にするために、要素内の変位関数は2次の項まで考慮した。ゲルバー・ヒンジ部については

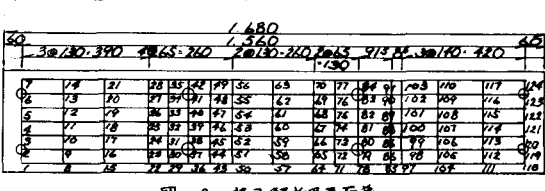


図-3 格子解析用平面図

計算を簡単にするために、要素内の変位関数は2次の項まで考慮した。ゲルバー・ヒンジ部については

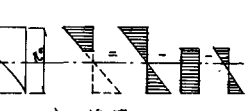


図-4 応力換算図

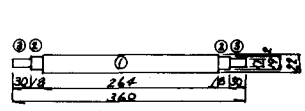


図-5 有限要素解析用変断面図

等価バネに換算し、全体と2つの部分に分離して計算を行った。この結果の断面性能は表-1に示す。

#### 4. 実験結果と検討

(4-1) 計算値と実測値の比較 支承断面及び載荷位置(センタースパン中央)断面における、計算値と実測値の応力の比較を図-6に示す。この結果から見ると、有限要素解析と格子解析による計算値との間で大きな差異は見られない。また有限要素解析による計算値の方が比較的実測値に近い値を示している。

#### (4-2) 荷重分配について

a) 載荷断面直下では、中央載荷、偏心載荷、いずれの場合も載荷位置で大きな応力が発生し、弹性論の応力度に比較して $30^{\circ}$ ~ $80^{\circ}$ 程度大きくなっている。

この傾向は、格子解析  
有限要素解析及び実測  
値でも同様であるが、  
実測値においては、や  
や大きな値を示している。

#### 3. (図-6)

b) 中間支承上では

センタースパン中央載荷、  
偏心載荷時に、載荷断面直  
下の場合と同様支承直上に  
大きな応力が発生し、弹性論  
の応力度に比較して、60%  
~100%程度大きくなって  
いる。中央載荷の場合には有  
限要素解析より実測値の方  
が小さめであるが、偏心載  
荷の場合には有限要素解析の  
方が実測値より少しありである。(図-6)

c) 載荷されていない支間の中央では、応力の分布は一様となる  
おり、この部分では弹性論とは大差がないと考えられる。(図-7)

以上のことから、計算値と実測値の荷重分配がほぼ同様の傾向を示  
ため、実施設計にて橋軸方向の応力度の算定における弹性論値を割増す設計方法の妥当性を確認した。しかし、数値的にやや差があるため、この原因及び適切な割増し値について、以下検討中である。支承上横筋の応力度及び有効巾の取り付けを含む設計法についても、現在検討中で、講演会当日発表の予定である。

最後に、本論文作成に当って、首都高速道路公団の山寺徳明氏に多くの力を得たことを、ここに深く感謝いたします。

	主版①	張小版②	張大版③
$E_x$ (橋軸X軸)	$2.69 \times 10^5$	$2.50 \times 10^5$	$2.50 \times 10^5$
$E_y$ (横角Y軸)	$2.20 \times 10^5$	$2.69 \times 10^5$	$0.97 \times 10^5$
等価板剛度	0.0220	0.0192	0.0170

表-1 有限要素用断面性能

図-6 橋軸方向応力分布図

(1)センタースパン幅員中央集中荷重

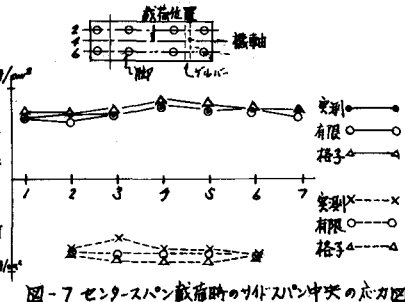
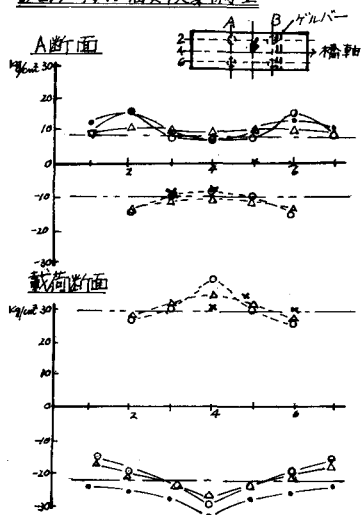


図-7 センタースパン載荷時のサンドスパン中央の応力図

(2)センタースパン偏心荷重

